

## الفصل العاشر

### الاصلابة الكيميائية الفراغية STEREOCHEMICAL NON-RIGIDITY

مبدئياً يعتقد المرء أن البنية الهندسية التناسقية الملاحظة في الحالة الصلبة محافظ عليها في محلول. ونعرف بعد ذلك من الكيماء العضوية أن البنية رباعية الأوجه هي البنية العامة السائدة على الأرجح لكل ذرات الكربون المشبعة، ولكن، بينت القياسات الطيفية بأن في كثير من المركبات غير العضوية لا يكون عديد الأوجه التناسقي صلباً وتتغير بنية المعد مع الزمن. سواءً كانت هذه التغيرات يمكن رصدها تقنية طيفية، تعتمد هذا على المقياس الزمني للتجربة مقارنة بالزمن اللازم ليعيد الجزيء تنظيم عديد وجوهه التناسقي.

تعتمد الطاقات المترنة بإعادة تنظيم البنيات الهندسية التناسقية جزئياً على القدر الذي تتحرك فيه الذرات لكي تكمل التحول وكذلك تماثلات المدارات المستخدمة. مثلاً، مركبات الكربون رباعية الأوجه صلبة من ناحية التجسيم الكيميائي لأن التحول البيني يتطلب بنية هندسية مربعة مسطحة وسيطة التي تتطلب تكوين الهجين<sup>2</sup>  $dsp^2$  بدلاً من الهجين<sup>3</sup>  $sp^3$  المميز لرباعي الأوجه.

وبما أن مدارات  $d$  تقع في مستوى عالي فإن ذلك يلقي بمشاكل على الجزيئات المؤسسة على الكربون وعلى ذرات مجموعة رئيسة أخرى هناك، عكس ذلك، توجد عدة أمثلة من معقدات النيكل (II) رباعية الأوجه ومربعة مسطحة وكذلك في المحاليل تتبادل فيما بينها سريعاً بمعدل زمن الطنين النووي المغناطيسي. إن لأيونات Ni(II)

بنيتها الالكترونية  $3d^8 4s^0 4p^0$  للحالة المستقرة مدارات تكافؤ متاحة بسهولة لتكوين بنية هندسية رابطة لكل من رباعي الأوجه والمربع المسطح . إن كثيراً من المركبات خماسية وسباعية وثمانية وتسعة التناسق غير صلبة من ناحية الفراغ الكيميائي على المقاييس الزمني للطين النووي المغناطيسي (NMR) انظر الجدول أدناه.

التقنية	زمن التداخل / ثانية
الأشعة السينية ، تشتت النيترون ، وإلكترون	$10^{-18}$
مطيافية الميكرويف	$\sim 10^{-10}$
مطيافية الأشعة تحت الحمراء	$10^{-13}$
مطيافية الرامان	$10^{-14}$
الطيف الالكتروني	$10^{-15}$
مطيافية الطين النووي المغناطيسي (NMR)	$10^{-1} - 10^{-9}$

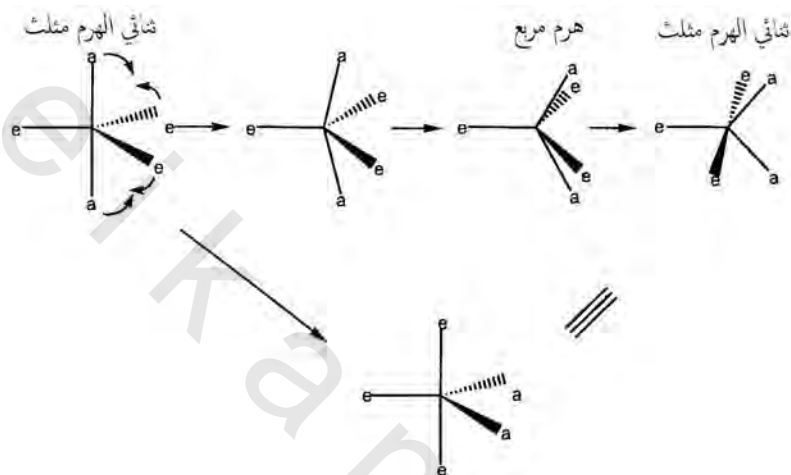
بالنسبة لأعداد التناسق هذه فإن هناك بدائل عددة من عديد الأوجه التناسقي بطاقة شبيهة جداً وبالتالي فإن تغيرات زاوية طفيفة فقط لازمة لتغييرها تبادلياً. تأخذ كل التقنيات سابقاً لقياس الخواص الجزيئية (ما عدا مطيافية NMR) أزماناً قصيرة جداً لا يمكن معها رصد الحركات الجزيئية.

من أجل نقاش أوفرا انظر :

J. W. Fuller in Encyclopedia of Inorganic Chemistry, Ed., R. B. King, p. 3914, John Wiley and Sons, Chichester, 1994.

مثلاً، بالنسبة إلى جزيء مثلث ثنائي الهرم ( $D_{3h}$ ) – هناك موقعان متبابنان وغير متكافئين تماثلياً – هما محوري (a) واستوائي (e) بنسب تساوي (a) : (e) = 3. فإذا أزحنا واحدة من الذرات المحورية وأثنين من الذرات الاستوائية – كما هو موضح في الشكل رقم (١١.١) فإن الزاوية  $a\text{-M-a}$  تنخفض عن  $180^\circ$  والزاوية  $e\text{-M-e}$  ترتفع إلى أعلى من  $120^\circ$ . ونصل لنقطة حيث تتساوي كلاً من هاتين الزاويتين. عند هذه النقطة فإن البنية

التناسقية تقابل هرم مربع ( $C_{4v}$ ) حيث تبقى الذرة  $e$  ثابتة وواقعة على محور التماشيل رباعي الطيات.



الشكل رقم (١١,١). آلية لتبادل الليجاندات في مركبات مثلث ثانئي الهرم.

بالرغم من أن الذرات  $a$  و  $e$  في المثلث ثانئي الهرم الأم متباينة تمامياً إلا أن أربعة منهم متكافئة تمامياً في الهرم المربع الوسيط. إذا استمرت حركات الذرات  $a$  و  $e$ ، وبالتالي عند نهاية المطاف يتكون المثلث ثانئي الهرم مرة أخرى ، ولكنه يكون قد أدى  $90^\circ$  بالنسبة إلى المثلث ثانئي الهرم الأصل. تكون في هذا المثلث ثانئي الهرم الذرات المحورية محتملة الآن الواقع الاستوائية واثنان من الذرات الاستوائية الابتدائية محتملة الواقع المحورية. إذن ، فإن الحركات البسيطة الموضحة أعلاه قمنا بآلية إيجاد متوسط البيئات الاستوائية والمحورية.

توصف هذه العملية باسم الدوران الكاذب لبيري (Berry) ..... لأن R. S. Berry من جامعة شيكاغو كان أول من اقترح بأن الحركات الداخلية داخل الجزيء الموصوف سابقاً أنتجت دوراناً للجزيء بزاوية  $90^\circ$  في المحصلة العامة. هناك عدة أمثلة من

المعقدات خماسية التنساق غير صلبة من ناحية الفراغ الكيميائي بالذات في مركبات الفوسفور الخماسي ومعقدات الفلزات<sup>٤</sup>، في بعض الحالات ، مثلاً  $\text{PF}_5$  و  $\text{Fe}(\text{CO})_5$  ، فإن طاقة التنشيط لعملية إعادة التنظيم صغيرة للحد الذي لا يمكن معه إبطاء العملية بما يكفي عند درجات حرارية منخفضة لكي تلاحظ البيئات غير المتكافئة تماثيلياً في تجارب الطين النموي المغناطيسي . عندما تؤدي العوامل الالكترونية إلى فرق معتبر في الطاقة بين المثلث ثنائي الهرم وبينية الهرم المربع (مثلاً : بالنسبة لمعقّدات الفلزات الانتقالية منخفضة المغزل<sup>٥</sup> ، انظر ص ٢٦) فإن طاقة التنشيط تكون أكبر بقدر معتبر وعند درجة حرارة الغرفة فإن المعقدات تبدو صلبة من ناحية الفراغ الكيميائي .

وخلاصة ذلك ، فإن المعقدات خماسية التنساق عامة غير صلبة من الناحية الفراغية الكيميائية لأن هناك بنية تناصقيتان بديلتان ببطاقات متساوية . والتبادل الداخلي لعديدات الأوجه هذه تتمناً بالآلية لإعادة ترتيب الذرات غير المتكافئة تماثيلياً . والعملية هي عملية داخل الجزيء ويمكن دراستها بدقة بالقياسات للطين النموي المغناطيسي عند درجات حرارة مختلفة ، إذا كان لتردد تبديل الأنوية غير المتكافئة نفس القدر من الرتبة كما للفرق في ترددات الطين للأنوية غير المتكافئة تماثيلياً .

بالنسبة إلى التنساق السباعي والثماني والتسعي فإن وجود بنية تناصقية بديلة ببطاقات متساوية يقود إلى عدة أمثلة من الجزيئات غير الصلبة من ناحية الفراغ الكيميائي . إن عديدات الأوجه التناصقية التالية عادة ما تتضمن :

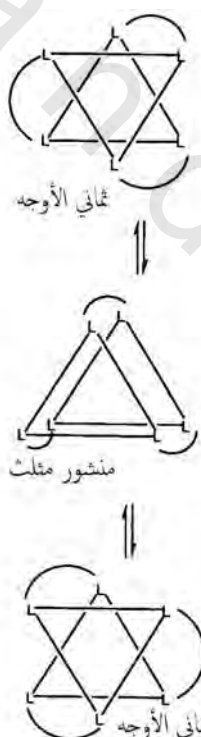
٧ ثماني الأوجه مغطى ، منشور مثلث مغطى ، خماسي الأوجه ثنائي الهرم

٨ ذو الاثنان عشر وجه .. ، منشور معكوس مربع ، منشور مثلث ثبائي الغطاء

٩ منشور مثلث ، ثلاثي الغطاء ، منشور مربع معكوس مغطى .

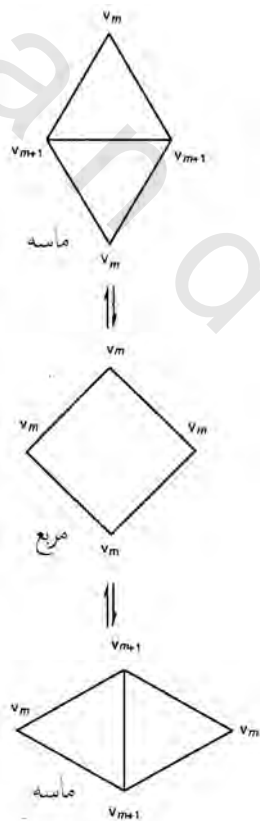
تكون المعقدات ثنائية الأوجه بلجنادات بسيطة في الأعم صلبة من الناحية الفراغية الكيميائية ، لأن الفرق في الطاقة بين البيئات التناصقية ثنائية الأوجه والمنشورية

المثلثة كبير جداً. والتنافرات بين الليجاندات كبيرة جداً في الأول (بنية ثمانية الأوجه)، وهذا يساهم بقدر كبير في فرق الطاقة. ولكن، المعدات المحتوية على ليجاندات ثنائية المخلب، حيث تجبر ذرات الليجاند الداخلية في الربط على البقاء متبعده بمسافات متساوية تقريباً، تعيد التنظيم بسهولة. والعملية الموضحة بالشكل رقم (١١.٢) توصف باسم (Bailar twist) وتجدر الملاحظة أنه بالنسبة للنظام الموضح بالشكل رقم (١١.٢)، فإن لولبة بيلر (Bailor twist) يتبع عنها تبادل داخلي للمركبات المنتفقة فراغياً، وبالتالي فإذا كان المعد الابتدائي نقياً من حيث الانتقاء الفراغي ويتوالب في المحلول بطريقة بيلر فإن فقد نشاطه البصري يؤمن طريقة لبرهان معدل سرعة العملية.



الشكل رقم (١١.٢). تعرف الآلية باسم (Bailor twist).

إن كثيراً من هذه العمليات التنظيمية هي أمثلة لعملية طبوبغرافية توصف باسم إعادة التنظيم "diamond –square-diamond" (DSD) أي حاسة الماسة المربعة. وتوضح العملية بالشكل رقم (١١,٣) فبالنسبة إلى عديد أوجه بوجهين مثلثين متباورين، وبالتالي، إذا كسر الطرف المشترك بين المثلثين وأعيد تكوينه باستخدام الرأسين الآخرين فإن العملية تغير شكل ماسة واحدة إلى أخرى أديرت بزاوية  $90^{\circ}$  مروراً بوسط مربع. إن هذه العملية إما أن تغير عديد الأوجه الابتدائي إلى عديد أوجه مختلف أو إلى نفس عديد الأوجه برؤوس مستبدلة.



الشكل رقم (١١,٣). آلية DSD.

في هذه العملية فإن الروابط الاتصالية ( $V_m$ ,  $V_{m+1}$ ) للرؤوس هي التي تحدد تغير الماسة. فتلك التي متصلة أساساً تقلل من اتصالها بمعدل الوحدة والاثنان الآخران يزيدان من اتصالهما بوحدة واحدة. إذن، إذا كان لعديد الأوجه وجوه مثلثة حسرياً فيمكن له فقط إعادة تنظيمه إلى عديد أوجه شبيه من خلال عملية DSD واحدة. إذا كان هناك أزواج من الرؤوس تختلف في روابطها الاتصالية بمقدار واحد. (الشكل رقم ١١.٣).

يلخص الجدول رقم (١١.١) الروابط الاتصالية لعديد الأوجه المثلث، أي، عديد أوجه بوجوه مثلثة حسرياً، وهذا يؤمن أساساً لاختيار عديد أوجه قادر على أداء مثل هذا التنظيم. ويدنا ثنائي الهرم المثلث بمثل هذا المثال طالما أن رؤوساً بروابط اتصال عددها ٣ أو ٤ يمكن اختيارها لتعريف الماسة كما هو موضح بالشكل رقم (١١.٤).

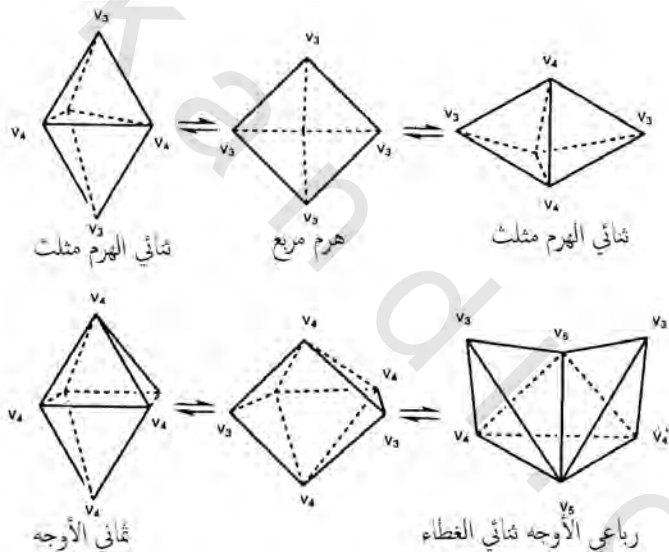
إن العملية DSD الموضحة بالشكل رقم (١١.٤) هي مطابقة لدوران بيري الزائف الذي نوقش مسبقاً ولكن عرف على أساس عديد الأوجه التناسقي وليس على أساس التغييرات في زوايا الروابط بين الفلز والليجاند ومعين بدليل لثنائي الهرم المثلث مبني على  $V_3$  و  $V_4$  لن يقود إلى ثنائي الهرم المثلث المعاد تنظيمه، ولكن إلى عديد أوجه بدليل صعب التحقيق لأن روابط الاتصال بعد إعادة التنظيم ستكون  $V_2$  أو  $V_3$  أو  $V_4$ .

الجدول رقم (١١.١). روابط الاتصال  $V_m$  لمثلث الوجوه برؤوس ٤-٢-١.

$v_6$	$v_5$	$v_4$	$v_3$	
			4	رباعي الأوجه
		3	2	ثنائي الهرم مثلث
		6		ثماني الأوجه
2	5			ثنائي الهرم خماسي
4	4			أثنا عشرري الوجوه
6	3			منشور مثلث مغطى ثلاثة
8	2			منشور معكوس مغطى ثائياً
1	8	2		الشافي عشر وجه
	12			العشرون وجه

بالنسبة إلى ثانوي الأوجه فإن الرؤوس كلها متصلة رباعياً ومن المستحيل استخدام عملية واحدة DSD لتوليد ثانوي أوجه مكافئ.

إن عملية واحدة DSD ينتج عنها تحول ثانوي الأوجه  $v_4$  (٦) إلى ثانوي أوجه مختلف تماماً له  $2v_4$ ,  $2v_5$ , و  $2v_6$  وهو رباعي الأوجه مغطى ثنائياً (الشكل رقم ١١.٤). ثانوية الأوجه الأخرى القادرة على إعادة التنظيم من خلال العملية DSD الواحدة هي ذات ١٢ وجهاً والمنشور المثلث ثلاثي الغطاء و ١٨ وجهه.



الشكل رقم (١١.٤). تطبيق العملية DSD على ثانوي الهرم المثلث وثانوي الأوجه ذات الوجه المثلثة.

إن عديدات الأوجه غير القادرة على إعادة التنظيم إلى عديد أوجه مطابق بعملية DSD الواحدة تحتاج مضاعفة أو ربما مزامنة العملية DSD لتفسير الخاصية غير الصلبة. مثلاً، فإن لولبة بيكر الموضحة بالشكل رقم (١١.٢) تقابل ثلاثة من العمليات DSD المترادفة.

قد يكون النقاش قد ترك انطباعاً بأن كل المركبات التناسقية في حالتها الصلبة تتبنى بنيات عديد الأوجه مثالية. ولكن، بالنسبة إلى تلك المركبات حيث سطح طاقة الوضع الذي يربط البنيات عديدة الأوجه المتبدلة لين<sup>3</sup> وبالتالي قد تفضل آثار الترتيب الإلكتروني تبني بنيات منتظمة. غالباً ما يوضح اختبار دقيق لبنيات سلسلة من المعدقات ذات الصلة أن لها بنيات تقع قريباً من إحداثي التفاعل (المسار الأدنى في الطاقة) الذي يوصل داخلياً البنيات المثلية. إذن، تعطي هذه البنيات لقطات أو لمحات سريعة لعملية إعادة التنظيم وتؤكّد إجمالاً المسار المفضل لإعادة التنظيم.

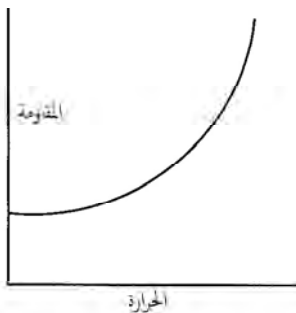
إن وجود سطح طاقة وضع لين قد يقود أيضاً إلى ملاحظة بنيات تناسقية بديلة لنفس الأيون داخل بلورة واحدة. مثلاً، قد لوحظ الأيون<sup>3-</sup> [Ni(CN)<sub>5</sub>]<sup>3-</sup> في هيئات ثنائي الهرم المثلث والهرم المربع داخل بلورة واحدة.

### المواد مفرطة التوصيل

#### **Superconductors**

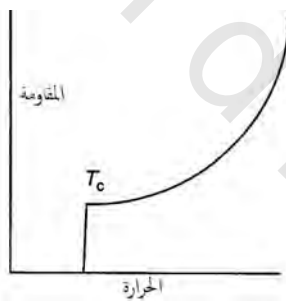
تشأّل المقاومة الكهربائية في المعادن (الفلزات) إما من الشوائب في الشبكة وإما من اهتزاز ذرات المعدن (الفلز) التي تنتج عدم نظامية لحظية لا توجد في الشبكة النظامية ثلاثية الأبعاد. كلا الأثران هذان يعوقان الحركة السهلة للإلكترونات خلال الشبكة.

قد يقلل أثر الشوائب عن طريق تنقية الفلز وأثرها مستقل عن الحرارة. وتقل اهتزازات ذرات الفلز كلما انخفضت درجة الحرارة. وبالتالي فإن مقاومة المعدن في العموم تنخفض كما هو موضح بالشكل رقم (١١.٥).



الشكل رقم (١١,٥). سلوك المعدن.

بالنسبة لفلزات معينة تظهر المقاومة انخفاضاً دراماتيكياً وفجأة عند درجات حرارة حرجة ،  $T_c$  ، قريباً من الصفر المطلق. تسقط المقاومة فجأة إلى الصفر كما هو موضح بالشكل رقم (١١,٦). ويصبح الفلز مفرط الموصلية. بعض قيم  $T_c$  النموذجية للفلزات والسبائك معطاة بالجدول رقم (١١,٢).



الشكل رقم (١١,٦). مفرط الموصلية.

الجدول رقم (١١,٢). قيم  $T_c$  لبعض الفلزات والسبائك.

$T_c$ (K)	الفلز / السبيكة
4.2	Hg
3.7	Sn
7.2	Pb
17	V/Si
18	Nb <sub>3</sub> Sn
23.2	Nb <sub>3</sub> Ge

عادة ما يفسر وجود فرط الموصولة في الفلزات والسبائك باستخدام النظرية (نظرية BCS) ، Cooper and Schieffers Bardeen التي تنسب المقاومة الصفرية إلى الحركة التزاوجية للإلكترونات. توصف هذه الزيجات أو الأزواج الإلكترونية باسم أزواج كوبر (Coopers Pairs). قد تكون المقارنة التالية مفيدة.

في سباق السيارات الذي يجري في مرات أو مسارات مكتوبة في المكان تحقيق سرعات أعلى بكثير عندما يكون هناك شخصان في السيارة أحدهما السائق والأخر الملاح.... أعلى من السرعات التي تحققها السيارات بشخص واحد.

عند درجات الحرارة العادمة تقاوم حركة الإلكترون من خلال الشبكة بالحركات الاهتزازية العالية للذرات، ولكن كلما انخفضت درجة الحرارة، يصبح اتساع هذه الحركات صغيراً مما يسهل مرور الإلكترون خلال التجمع الذري المنتظم في هذه الظروف وموقع الإلكترون يمكنه زعزعة الشبكة. فمثلاً، الإلكترون في منطقة الارتباط بين الذرات يمكنه أن يجعل ذرات الفلز تتحرك متقاربة مع بعضها البعض. عندما يتحرك الإلكترون يترك فراغاً في شبكة الفلز وهذا وضع جاذب جداً لـ الإلكترون آخر. إذن، فإن الإلكترون الأول قد استحدث تأثيراً ذاكيّاً يسهل حركة الإلكترون الثاني. وعليه، فإن الحركات التعاونية للإلكترونات والأنيونية يمكنها تعجيل حركات الإلكترونات. ليست هناك مقاومة واقعة على الإلكترونات في حركتها خلال الشبكة، إذا كان الاندماج مؤثراً فعلاً. تسهل الحركات النووية انسياقات الإلكترونات بنفس الطريقة التي تحرك بها إبرة الخياطة خلال اسطوانة ضيقة من المادة وذلك عن طريق سلسلة متتابعة من الحركات العاصرة.

إن متوسط المسافات بين أزواج كوبر من الإلكترونات حسبت لتكون كبيرة في حدود  $100,000 \text{ pm}$  ، بمعنى أن التداخلات شبه ضعيفة. نتيجة لذلك أي أنها فقط مفيدة عندما تعتبر كزوج عند درجات حرارة متدنية عندما تكون طاقات الاهتزاز المترنة بحركات الذرات لا تزيل الآثار.

بالرغم من الطبيعة الضعيفة للتداخل فمن المفيد اعتبار زوج كوبر (Coopers Pair) شيئاً بحسب شحنة وكتلة ضعف شحنة وكتلة الإلكترون. تصنف الإلكترونات المفردة كفيرميونات (Fermions)، وإذن يجب أن توافق مبدأ أوفباو ولا يمكن لإلكترونين أن يحتلا نفس المستوى الميكانيكي الكمي (مبدأ بولي للاستبعاد). في الجانب الآخر فإن الزوج الكوبري يصنف كبوسون (boson) والماء الأوفباوي الطبيعي لمستويات الطاقة لا يصلح لأن الأزواج الكوبرية يمكنها احتلال مستوى أكثر طاقة مستقر. وهذا يؤمن آلية لتفسير التغير الدرامي في المقاومة عند  $T_c$ ، وعندما تصبح طاقات الحركات الاهتزازية للذرات أصغر من الطاقات المصاحبة لتكوين الأزواج الكوبرية فإنه وبالتالي تتغير بنية شريط الفلز فجأة لأنه بدلاً من ملء كثير من مستويات الطاقة بأزواج الكترونية متعاكسة المغزل فإنه يتكون مستوى طاقة واحد متملي تماماً بزوج كوبري. إن مستوى الطاقة منفصل تماماً عن ذلك الذي يليه، وبالتالي تتحرك الأزواج الكوبرية خلال الشبكة كحشد مسرع متتجاهلة كل الأنوية المبعثرة التي يمكن أن تسبب مقاومة لحركتها.

إن المقاومة الصفرية المقترنة بإفراط الموصولة من الصعب جداً قياسها عملياً وبالتالي فإن حرارة  $T_c$ ، تحدد بقياسات مغناطيسية الوسيط للتيار المباشر. إن مفرط الموصولة هو مغناطيس ثانوي تام والتيار المستمرة على سطح المادة تتدفق بعيداً تدفق المغناطيس. أيضاً فإن الخواص الديامغناطيسية تظهر بعض الآثار الهستيرية المحددة.

يمكن أن تصنف الجسيمات النووية كفيرميونات أو بوسونات وينسب عزمها الزاوي لمغزلها النووي. إن الإلكترونات والبروتونات والنيوترونات هي فيرميونات وهي عموماً مقترنة بعزم زاوي قدره  $\frac{nh}{2\pi}$  ( $n =$  عامل ضرب نصف عددي) وتوافق مبدأ بولي للاستبعاد. للبوسونات، مثل الميسونات، عزم زاوي صفر أو  $\frac{nh}{2\pi}$  ( $n =$  عامل ضرب صحيح) ولا توافق مبدأ بولي للاستبعاد.

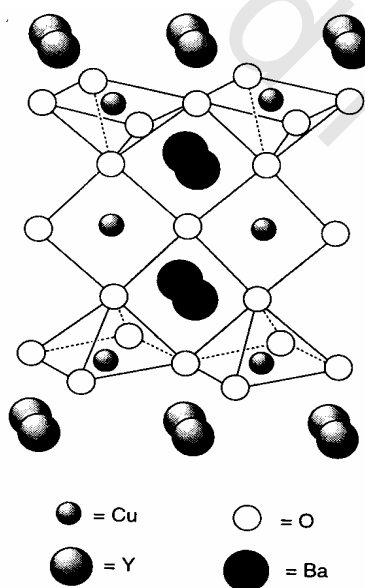
تبريد عينة مفرطة التوصيل في غياب مجال مغناطيس عن درجة حرارة أدنى من  $T_c$  ومن ثم قياس الديامغناطيسية بوجود المجال المغناطيسي مع التسخين يعرف بتجربة المجال الصفرى (ZFC). يظهر مفرط المغناطيسية دiamغناطيسية تامة. فإذا قيست الديامغناطيسية أثناء التبريد مروراً بدرجة الحرارة  $T_c$  وتلي ذلك قياسات مع التدفئة فإن هذه العمليات توصف باسم قياسات مجال مبرد (FC). يحبس التدفق المغناطيسي الموجود داخل العينة عند درجة حرارة أعلى من  $T_c$  داخل التيار الحاجز على السطح عند درجة حرارة أدنى من  $T_c$ . تكون الاستجابة المغناطيسية FC وبالتالي أصغر من الاستجابة ZFC. هذا الأثر المستيري يعرف باسم اثر ميسنر (Meissner effect) وهو البرهان القاطع لفروط التوصيل (الموصلية). اكتشفت العديد من المواد في السنين الأخيرة (ليست السبائك ولا الفلزات) ورغم ذلك تظهر  $T_c$  عالية القييم، وفي بعض الأحيان أعلى من تلك للنيتروجين السائل المغلى. بعض من هذه المركبات غير العضوية والعضوية ملخصة بالجدول رقم (١١.٣) إن العاملين الوحيدين المشتركين بينها أن لكل منهم بنيات غير متناهية في الحالة الصلبة وأن واحداً من الأيونات ليس حالة أكسدة بعدد صحيح.

الجدول رقم (١١.٣). درجات الحرارة الحرجة لبعض المواد مفرطة الموصلية.

المركب	$T_c / K$
PbMo <sub>6</sub> S <sub>8</sub>	13
Ba <sub>6</sub> C <sub>60</sub>	7
Rb <sub>3</sub> C <sub>60</sub>	29
BEDT-TTF[Cu(NCS) <sub>2</sub> ]	10
K <sub>3</sub> C <sub>60</sub>	19
Nd <sub>1.85</sub> Ce <sub>0.15</sub> CuO <sub>4</sub>	22
Ba <sub>0.6</sub> K <sub>0.4</sub> BiO <sub>3</sub>	30
La <sub>1.85</sub> Sr <sub>0.15</sub> CuO <sub>4</sub>	40
YBa <sub>2</sub> Cu <sub>3</sub> O <sub>7</sub>	90
Tl <sub>2</sub> Ba <sub>2</sub> Ca <sub>2</sub> Cu <sub>3</sub> O <sub>10</sub>	125
HgBa <sub>2</sub> Ca <sub>2</sub> Cu <sub>3</sub> O <sub>8+δ</sub>	133

لقد حقق هذا المجال قفزة كبيرة للأمام في سنة ١٩٨٦ م عندما أعلن بدنورز (Bednorz) و مولر (Muller) (IBM Zurich) أن مادة سيراميكية أساسها أكسيد الألومنيوم والباريوم والنحاس (الشكل رقم ١١.٧) صارت مفرطة الموصلية عند  $T_c = 35$  K.

لقد أوضح هذا الاكتشاف للمركب أن مدى كاملاً من الكيمياء الاحلالية يمكن استخدامه لإدخال تغييرات في صيغة المركبات وبنيتها. فعلاً، وفي سنة أعلن شو (Chu) (من جامعة تكساس بهيوستن) أن لأكسيد اليتريوم والباريوم والنحاس،  $T_c$  أعلى من درجة حرارة النيتروجين السائل (77.4 K). إذن، فإن هذه المواد السيراميكية مفرطة الموصلية عند درجة حرارة عالية تبرز أثر ميزنر (Meissner) إبرازاً دراماتيكياً. فإذا وضعت كُريه من مفرط الموصلية على مغناطيس وتبع ذلك تبريد للعينة والمغناطيس بسكب نيتروجين سائل فوقهما فسنلاحظ أن الكريه قد ارتفعت فوق المغناطيس عندما تنخفض حرارتها تحت  $T_c$ .



الشكل رقم (١١.٧). بنية  $\text{YBa}_2\text{Cu}_3\text{O}_7$ .

إن النحاس مهم للاحظة خواص الإفراط في الموصليّة في هذه المواد ولإدخال الأيونات المبادلة البديلة آثار قليلة على المسافات بين النحاس والنحاس وعلى البنية، ويبدو أن هذه مهمة جداً في التأثير على  $T_c$ . ويمكن التأثير على المسافات بين النحاس والنحاس بوضع كربات السيراميك تحت ضغط ، وعامة فإن أثر ذلك هو زيادة  $T_c$ .

إن نظرية (BCS) الموصوفة سابقاً التي تنتج تبعات من تداخلات أزواج كوبر عند درجات حرارة متدنية عندما تكون الاهتزازات الذرية في أدنى قيمة من الواضح ليست ملائمة لهذا السيراميك النحاسي مفرط الموصليّة.

إن التداخلات المتضمنة أزواج كوبر من الواضح أنها أقوى وقد تأكّد ذلك من متوسط المسافة بين زوج الالكترونات الذي يقع في حدود  $3000 \text{ pm}$ . كان المظنون أن اندماج المضاد الفيرومغناطيسي بين أيونات كوبر مهم جداً لتكوين أزواج كوبر في هذه المنظومات. إن مستوى الأكسدة للنحاس أمر حاسم في تحديد إذا ما كانوا مفرط الموصليّة وكذلك قيم  $T_c$  لهم. ومن أجل أن يكون المركب إما أكبر من أو أقل من أثنتين ولكن ليست متساوية لأثنتين. مثلاً ، فإن  $\text{LaCuO}_4$  عازل مضاد الفيرومغناطيسي في حين

$\text{La}_{1.85}\text{Sr}_{0.15}\text{CuO}_4$  موصل فلزي ويصبح مفرط الموصليّة عند  $40 \text{ K}$

أدخلت تعديلات كيميائية واسعة النطاق في هذه المنظومات ورفعت  $T_c$  إلى  $133 \text{ K}$  في مشتق للزئبق (الجدول رقم ١١.٣ لقيم  $T_c$ ) لبعض المركبات غير العضوية.

يحتوي الجدول رقم (١١.٣) أيضاً على بعض المركبات مفرطة التوصيل الأخرى التي درست بتوسيع في السينين الأخيرة. بعضها قد أسس على أنيونات (Buckminster fullerene) ثبتت بكتايون الفلز قلوي أو فلز قلوي أرضي.  $T_c$  لهذه المركبات تتراوح قيمتها بين 7 و 29 K. من الواضح أن هذه المركبات ليست جاذبة من النظرة الاستكشافية، ولكن ، ومع ذلك ، فقد أمنت بعض التبصيرات لمحدودية النظرية BCS

يعطي المرجع :

M. T. Weller. Inorganic Materials Chemistry, OUP. Oxford. 1994.

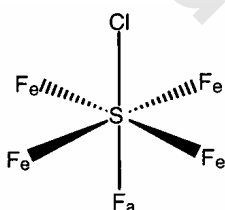
نقاشاً تفصيلياً لهذا الموضوع.

### التماثل

#### Symmetry

يستخدم الكيميائي التماطل بدأه في عملية التعرف على أي الذرات متكافئة في الجزيء. مثلاً، في الشكل رقم (١١,٨) من السهل رؤية مجموعتين من ذرات الفلورين متكاففتين بنسبة ٤ : ١. إن التعرف على عدد الواقع المكافئ في الجزيء شيء مهم لغرض تحليل طيف nmr وتحديد عدد الأيسومرات الموجودة.

يلعب التماطل بالذات دوراً مهماً في تحديد بنية الجزيئات بالطرق الطيفية. إن تفسير المعلومات من أطيف الأشعة تحت الحمراء (IR) و UV ، والعزوم ثنائية القطبية ، والأنشطة البصرية كلها تعتمد على التماطل الجزيئي.



الشكل رقم (١١,٨). بنية الجزيء  $\text{SF}_5\text{Cl}$ . ذرات الفلورين استوائية، و ذرة فلورين محورية.

### عناصر وعمليات التماطل

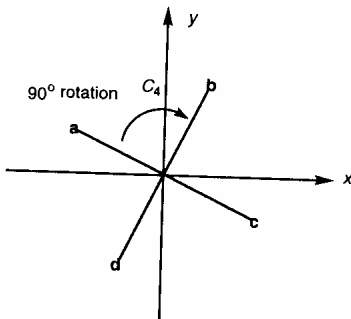
من الواضح أن التماطل يتعلق بفكرة التكافؤ ولكن تعريف التماطل وبطريقة أكثر دقة يجب أن يؤسس للعمليات الذهنية اللازمة لبيان هذه التكافؤات. من المفيد وضع تميز واضح بين عمليات التماطل وعناصر التماطل.

تعرف عملية التماثل كحركة للجزيء نحو توضع جديد تكون فيه كل نقطة في الجزيء متطابقة مع نقطة مكافئة (أو نفس النقطة) بالجزيء في موضعها الأصل. عنصر التماثل شيء هندسي مثل السطح، نقطة أو خط تجري عمليات التماثل مقرونة به عناصر وعمليات التماثل تعرف التماثل الجزيئي، وهي ملخصة بالجدول رقم (١١.٤).

#### الجدول رقم (١١.٤). عناصر التماثل وعمليات التماثلية المترنة.

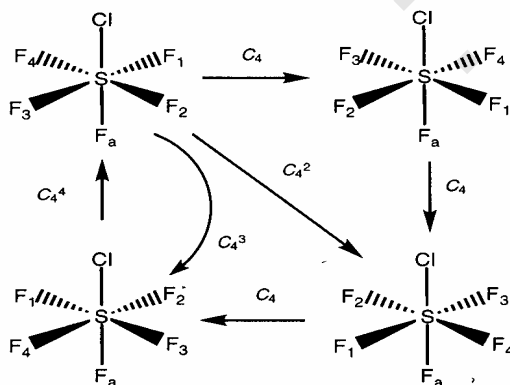
عنصر التماثل	عملية التماثل
١- مركز التماثل	انقلاب كل النقاط من خلال مركز التماثل (i)
٢- سطح	انعكاس على سطح (5)
٣- محور تام	دوران بزاوية $\left(\frac{360^\circ}{n}\right)$ حول المحور $C_n$
٤- محور غير تام	دوران بزاوية $\left(\frac{360^\circ}{n}\right)$ يتبعها انعكاس على سطح متواز مع محور الدوران ( $S_n$ ).

ويلفت النظر أن العمليات النهائية هي دمج لاثنين من عمليات التماثل الأولى وبالرغم من ذلك تمثل عملية مستقلة. هذا وبالتالي شيء لحركة فارس على طاولة الشطرنج تتضمن دمج الحركات شمال-جنوب وشرق - غرب بطريقة فريدة. يمكن أن توضح عمليات التماثل باستخدام بعض الأمثلة المحددة. يعرض الشكل رقم (١١.٩) أثر عمليات التماثل المتتابعة على نقطة عامة a. إن دوراناً بزاوية  $90^\circ$  في اتجاه عقارب الساعة حول المحور z الموجه داخل سطح الصفحة ومتواز معه، ينشئ النقطة الجديدة b. دوران بزاوية  $180^\circ$  ينشئ النقطة c، ودوران بزاوية  $270^\circ$  ينشئ النقطة d. بناءً على التعريف، فإن هذه النقاط الأربع يجب أن تقرن بعمليات التماثل  $C_4$  (دوران بزاوية  $90^\circ$ ،  $C_2^2$ )،  $C_4^3$  (دوران بزاوية  $2 \times 90^\circ = 180^\circ$ )،  $C_4^1$  (دوران بزاوية  $270^\circ$ ) حول محور z.



الشكل رقم (١١,٩). تبيان لأثر الدوران  $C_4$  حول المحور  $z$  على النقطة  $a$ .

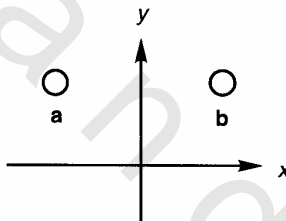
يجب أن تقرن ذرات الفلورين الأربع الاستوائية في  $SF_5Cl$  (الشكل رقم ١١,٨). بمثل عمليات التماشيل هذه ويقال وبالتالي أن للجزيء محور دوران رباعي الطيات ( $C_4$ ). إن دوران  $SF_5Cl$  بزاوية  $90^\circ$  حول محور التماشيل ( $C_4$ ) يبادل ذرات الفلورين الاستوائية معطياً هيئه لـ ( $SF_5Cl$ ) متكافئة كلية كما هو موضح بالشكل رقم (١١,١٠) ولكن، دوران بزاوية  $360^\circ$ ، التي يمكن أن ترمز  $C_4^4$ ، يعطي ترتيباً لذرات الفلورين مطابقة للهيئه الأصل. وبالتالي ترقى إلى عمل لا شيء للجزيء.



الشكل رقم (١١,١٠). آثار الدورانات  $C_4$  حول المحور  $C_4$  للجزيء  $F_a-S-Cl$  في  $SF_5Cl$ . رقمت ذرات الفلورين الاستوائية الأربع لتمييزها عندما يدور الجزيء.

رياضياً، فإن عملية عمل لاشيء هي في حد ذاتها عملية تماثلية، وتسمى عملية الذاتية،  $E$  (من الكلمة الألمانية Einheit وتعني الوحدة). وأثر الدوران  $360^\circ$  يمكنه وبالتالي أن يعبر عنه بحدود التكافؤ التالي :  $C_4^4 \equiv E$ . بطريقة عامة تماماً فإن  $C_n^n \equiv E$ . قد يكون للجزيء أكثر من محور دوران واحد. وفي هذه الحالات، فإن المحور المقتربن بعملية الدوران ذات الرتبة الأعلى يوصف بأنه المحور الرئيس.

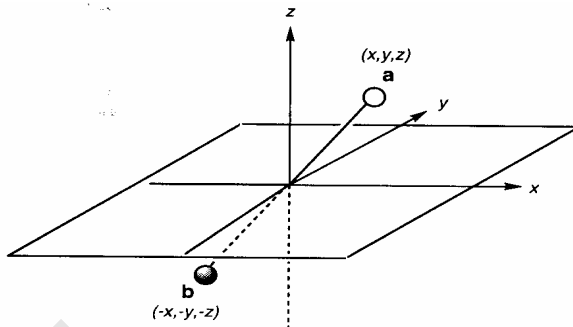
يوضح الشكل رقم (١١.١١) أنه عندما تعكس النقطة العامة  $a$  على السطح  $xy$ ، تنشأ النقطة  $b$ . من الواضح أن ذرات الأكسجين بجزيء ثاني أكسيد الكبريت مقتربة بمثل عملية الانعكاس  $\sigma$  هذه (على الكلمة الألمانية speigel التي تعني مرآة).



الشكل رقم (١١.١١). أثر انعكاس النقطة  $a$  على سطح انعكاس  $yz$  هو لإنتاج النقطة  $b$ .

إذا كان سطح المرأة متعامداً على المحور الرئيس، فيوسم  $\sigma_h$  (horizontal) أو إذا احتوى المحور الرئيس يوسم  $\sigma_v$  (vertical). وإذا احتوى سطح المرأة المحور الرئيس ونصف الزاوية بين محوري ثنائيي الطيات متعاماً على المحور الرئيس، فيوسم  $\sigma_d$  (ثنائي الوجوه أو قطري). جدير باللحظة أن  $E = \sigma^2$  دائماً يعني أن أثر إجراء عملية الانعكاس مرتين يرجع الجزيء إلى وضع الأصل.

يبين الشكل رقم (١١.١٢) أثر عملية الانقلاب  $i$  على النقطة  $a$ ، موضوعة عند  $(x,y,z)$ . وللنقطة الجديدة  $b$  الناشئة عن عملية الانقلاب الإحداثيات  $(-x, -y, -z)$ . لقد استخدم في الشكل دوائر فارغة وممتلة لتمييز النقاط ذات الإحداثيات  $z < 0$  (يعني فوق وأسفل السطح المبين) بالترتيب. لاحظ أن  $E = i^2$ .



الشكل رقم (١١,١٢). تبيان عملية الانقلاب على النقطة العامة a منتجة النقطة b.

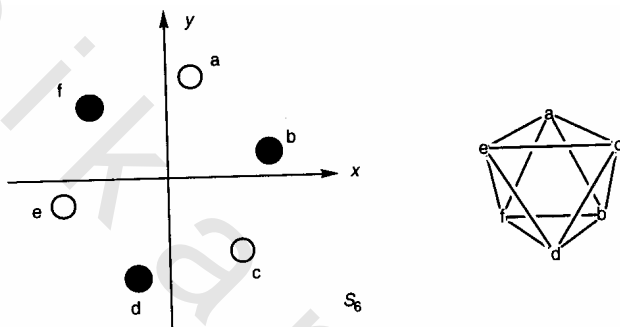
إن ذرات الفلورين في الديازين ثنائي الفلور - الترانس ( $N_2F_2$ ) تقرن بمثيل عملية التماثل هذه (الشكل رقم ١١,١٣)، ولكن ليس تلك التي في السيس  $N_2F_2$ .



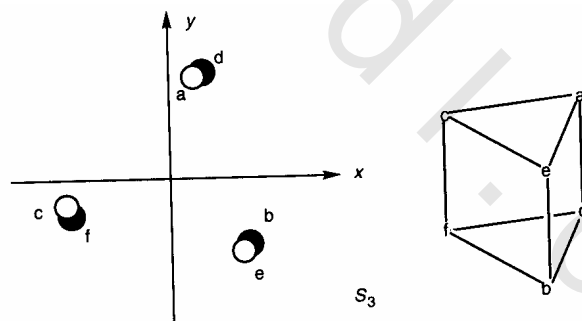
الشكل رقم (١١,١٣). بنية  $N_2F_2$  الترانس والسيس.

تتضمن عملية الدوران غير التامة  $S_n$  دورانًا بزاوية  $\left(\frac{360^\circ}{n}\right)$  متبعاً بانعكاس على سطح مرآة متعامد على محور الدوران. إن عمليات الدوران غير التامة المتتابعة تعيد إنشاء النقطة الأصلية بعد دوران كلي بزاوية  $360^\circ$  إذا كان n عدد زوجي ، ولكن إذا كان n عدد فردي فيتوجب دورانات مكتملات (يعنى  $720^\circ$ ). يبين الشكل رقم (١١,١٤) النقاط المكافئة الناشئة بمجموعه من العمليات  $S_6^5$  ،  $S_6^4$  ،  $S_6^3$  ،  $S_6^2$  ،  $S_6$  .

تنشئ المجموعة الأولى من العمليات ترتيباً مترنحاً ذا ستة نقاط ، التي ستقابل ، مثلاً، موقع الليجاند في معقد ثانوي الأوجه منتظم ، مثلاً  $[CrCl_6]^{3-}$  (الشكل رقم ١١.١٤)، وتقابل المجموعة الثانية ترتيباً كسوبياً (eclipsed) للنقاط . تقابل ليجاندات المعقد المثلث المشوري مثل هذه المجموعة (الشكل رقم ١١.١٥).



الشكل رقم (١١.١٤). النقاط الناشئة بالعمليات  $S_6^m$  (  $m = 1-5$  ).



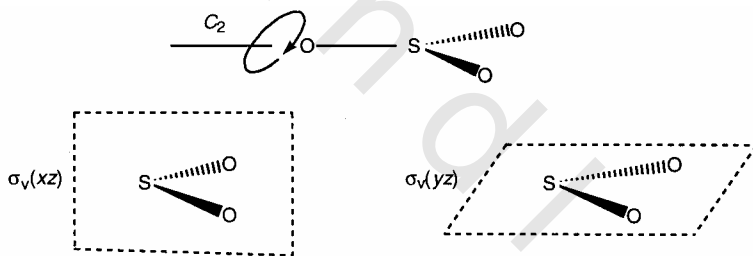
الشكل رقم (١١.١٥) النقاط الناشئة بالعمليات  $S_3^m$  (  $m = 1-6$  ).

إذا كان للجزيء المحور  $C_n$  وسطح مرآه تماثلي متعادم معه ، فإن المحور  $C_n$  هو المحور  $S_n$  كذلك. إن تطبيق  $C_n$  مرتين هو نفس تطبيق  $S_n$  مرتين ، لأن أثر جزء الانعكاس في  $S_n$  يلغى ببساطة ، بمعنى أن  $S_n^2 = C_n^2$ . في العموم ، فإن تطبيقات  $k$  لـ  $S_n$  مره سيعطي :

إذا كان  $k$  عدداً مفرداً:  $S_n^k = C_n^k \times C_n^k = \sigma_h \times C_n^k$  و إذا كان  $k$  عدداً زوجياً نتيجة لذلك، يمكن أن يفسر  $S_n^k$  كدوران  $C_n^k$  تبعه انعكاس على سطح أفقي للمرآة فقط إذا كان  $k$  عدداً مفرداً. والعكس كذلك صحيح، معنى أن دوراناً بزاوية  $\frac{2\pi}{3}$  زائداً انعكاس إذا كتب  $S_3^5$  وليس  $S_3^2$  والذي سيكون ببساطة  $C_3^2$ . ويتبع من ذلك:  $\sigma = S_1$  وإذا كان  $k$  عدداً فردي فإن  $\sigma = S_k^k$  وإذا كان  $k$  عدداً زوجي فإن  $S_k^k = E$ .

### ضرب عمليات التماثل

يمكن تمثيل إجراء متالي لعمليتي تماثال جبرياً بنتائج العمليات المفردة بالنسبة إلى جزء ثانٍ أكسيد الكبريت (الشكل رقم ١١.١٦) يمثل بدوران تام بزاوية  $180^\circ$  حول المحور  $z$ .



الشكل رقم (١١.١٦). عناصر التماثل للجزيء  $\text{SO}_2$ . الجزيء موضع في حدود السطح  $yz$ .

تنتج العملية  $C_2$  تبادل ذرتين الأكسجين ودوارانين متتاليين بزاوية  $180^\circ$  يرجع الجزيء إلى هيئته الأصلية. وهكذا يمكننا أن نصيغ العلاقة  $C_2 \times C_2 = E$ . كذلك، فإن عملية الانعكاس فوق سطح المرآة  $xz$  (أي  $\sigma_{v(xz)}$ ) تبادل ذرتين الأكسجين في حين أن الانعكاس على سطح المرآة  $yz$  (بأي  $\sigma_v(yz)$ ) يترك موقعي ذرتين الأكسجين غير متغيرتين. إن إجراء أي من عمليات الانعكاس مرتين يقابل عملية الذاتية.

$$\sigma_v(xz) \times \sigma_v(xz) = E$$

$$\sigma_v(yz) \times \sigma_v(yz) = E$$

إن الإجراء المتالي لـ  $(yz) = \sigma_v$  و  $C_2$  يعادل في أثره الكلي ذرتين الأكسجين، وهي نتيجة يمكن الحصول عليها بديل آخر هو العملية  $\sigma_v (xz)$  الواحدة. إذاً، فإن  $\sigma_v (yz) \times C_2 = \sigma_v (xz)$ .

بالنسبة لهذا الجزيء بالذات، فلن يحدث اختلاف إذا كانت قد أجريت العمليتين بترتيب معكوس (يقال عن العمليتين أنهما تبادلان)، ولكن ليس ذلك حقيقة دائماً. عامة، من المهم تعريف الترتيب لإجراء عمليات التماثل بدقة.

إن أثر إجراء عمليتي تماثل بالتالي يمكن أن يتضمناً اصطلاحاً بجدول ضرب كما هو موضح أدناه:

	E	$C_2$	$\sigma_v (xz)$	$\sigma_v (yz)$
E	E	$C_2$	$\sigma_v (xz)$	$\sigma_v (yz)$
$C_2$	$C_2$	E	$\sigma_v (yz)$	$\sigma_v (xz)$
$\sigma_v (xz)$	$\sigma_v (xz)$	$\sigma_v (yz)$	E	$C_2$
$\sigma_v (yz)$	$\sigma_v (yz)$	$\sigma_v (xz)$	$C_2$	E

من المهم ملاحظة أنه لم تنشأ عمليات تماثل جديدة جراء هذه الضربيات، وبالتالي، فإن العمليات E ،  $C_2$  ،  $\sigma_v (yz)$  ،  $\sigma_v (xz)$  ،  $\sigma_v (xz)$  الأربعة تكون مجموعة مستقلة أو كاملة. إذاً، فإن المجموعة تكون زمرة تامة بالمعنى الرياضي كما هو موضح أدناه:

### الزمرة الرياضية

تعرف الزمرة رياضياً بأنها مجموعة عناصر [P ، Q ، R ، ... ، إلخ]. لها الخواص التالية:

- هناك قاعدة "لدمج" عناصر الزمرة. عندما يتم دمج عنصرين من الزمرة فيجب أن يكون الناتج أحد أعضاء الزمرة، مثلاً  $PQ = R$ .

٢ - هناك عنصر E، بحيث يكون  $P = PE = QE$  و ... إلخ. ويسمى عنصر الذاتية E.

٣ - ينطبق الضرب الجمعي (وليس بالضرورة التبادلي)، أي:  

$$P(QR) = (PQ) R$$

٤ - يجب أن يكون لكل عنصر معكوس وهو كذلك عنصر في الزمرة، المعكوس للعنصر Q يعرف بالطريقة التالية:  $S = Q^{-1}$ .

تحولات الشبه وأصناف عناصر التماثل: يقابل تحول الشبه ناتج الضرب  $QP = R^{-1}$  والعملية R هي تحول الشبه للعملية Q بـ P. ويوصف Q و R بأنهما مقتربان. إذا كان تبعه إكمال تحولات الشبه على Q مع كل عناصر الزمرة بما فيها E و Q نفسها يتبع عنها P و R فقط فإنهم يوصفوا بأنهم صنف من عمليات التماثل. إذا كان لزمرة النقطة ماعدده n من العناصر فإن عدد العناصر في كل صنف هي  $n/m$  حيث m عدد صحيح  $C_3^2$ . في زمرة النقطة  $C_{3v}$  (ستة عناصر في مجملها) فإن الأصناف هي E و  $C_3^1$  و  $C_3^2$  ( $m \leq n$ ). (عنصران،  $m=3$ )، و  $\sigma_v(1)$  ،  $\sigma_v(2)$  ،  $\sigma_v(3)$  (ثلاثة عناصر،  $m=2$ ).

### زمرة النقطة

إن المجموعة الكاملة لعناصر التماثل للجزئ تكون زمرة رياضية، تسمى زمرة النقطة لأن كل عناصر التماثل تتقاطع عند نقطة داخل الجزيء لا تزيحها أي من عمليات التماثل. إن رمز نقطة الزمرة للجزيء  $SO_2$  هو  $C_{2v}$  بناءً على ترميز سكونفليز الذي يستخدم عاماً. إن النقطة التي لم تتحرك بأي عملية تماثل هي المركز وهو ذرة الكبريت.

باستخدام تعليم مشابه، يمكن اشتقاق عناصر وعمليات التماثل لزمرة نقطة أخرى، ويُحدد الجدول رقم (١١.٥) عناصر التماثل الأساسية لختلف النقاط. إن

الكلمة "أساسية" استخدمت بسبب أن بعض عناصر التماثل القائمة تعنى بالضرورة وجود عمليات أخرى لم ترد في القائمة.

الجدول رقم (١١,٥). عمليات التماثل الأساسية المترتبة بالزمر العامة للنقطة.

نقطة الزمرة	عناصر التماثل الأساسية
$C_s$	سطح تماثل واحد
$C_i$	مركز تماثل
$C_n$	محور تماثل تام واحد عدد طياته $n$
$D_n$	محور واحد $C_n$ و $nC_2$ و من المحاور المتعامدة
$C_{nv}$	$C_n$ وعدد $n$ من سطوح المرأة متعامدة
$C_{nf}$	$C_n$ وعدد $n$ من سطوح المرأة أفقية
$D_{nh}$	نفس عناصر $D_n$ زائداً سطح مرآة أفقي
$D_{nd}$	نفس عناصر $D_n$ مع $n$ من سطوح مرآة ثنائية الوجوه
$S_n$ (عدد زوجي)	محور دوران غير تام طياته $n$
$T_d$	عمليات التماثل المميزة لرباعي الأوجه.
$O_h$	عمليات التماثل لثماني الأوجه أو المكعب
$I_h$	عناصر التماثل المميزة لـ ٢٠ الوجه المستنظم أو ١٢ وجه الخماسي
$K_h$	تماثل كروي كامل

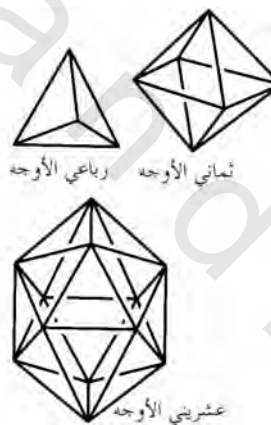
### طريقة ترتيبية لتصنيف تماثل الجزيئات

تزودنا الخطوات التالية بمنهجية ترتيبية لتصنيف الجزيئات بناءً على زمر نقطتها.

- حدد إذا ما كان الجزيء ينتمي إلى وحدة من الزمر الخاصة (الجدول رقم ١١,٥). أي  $C_{\infty v}$  أو  $D_{\infty h}$  أو إلى واحدة من تلك بمحور عالي الرتبة. فقط الجزيئات الخطية يمكنها الانتماء إلى  $C_{\infty v}$  أو  $D_{\infty h}$ . والتماثل العالى الخاص للأخربيات ويكون واضحاً في العادة. كل الزمر المكعبة  $T$  ،  $T_d$  ،  $T_h$  ،  $O$  ،  $O_h$  يلزمها أربعة من المحاور  $C_3$  ، في حين أن الزمر عشرينية الأوجه ،  $I$  و  $I_h$  يلزمها عشرة  $C_5$  فقط وستة  $C_3$ . هذه

المضاعفات من  $C_3$  و  $C_5$  هي الأشياء الرئيسية التي يبحث عنها. في الممارسة، فإنه فقط تتأهل الجزيئات المبنية على رباعي أوجه، ثماني أوجه، ثماني مكعب، ومكعب أو عشريني الأوجه مركزيات، عديدة الأوجه هذه تكون عادة واضحة.

٢ - إذا كان الجزيء لا يتسمi لواحد من الزمر الخاصة، أبحث عن محور دوران تام أو غير تام. فإذا لم يوجد أي محور من أي من النوعين، أبحث عن سطح أو مركز تمايل. فإذا وجد سطح فقط، فإن الزمرة هي  $C_n$ . إذا وجد مركز فقط (هذا نادر جداً) فإن الزمرة هي  $C_1$ . إذا لم يثبت أي عنصر تمايل فإن الزمرة هي تلك النكرة المحتوية على عملية الذاتية فقط ترمز  $C_1$ .



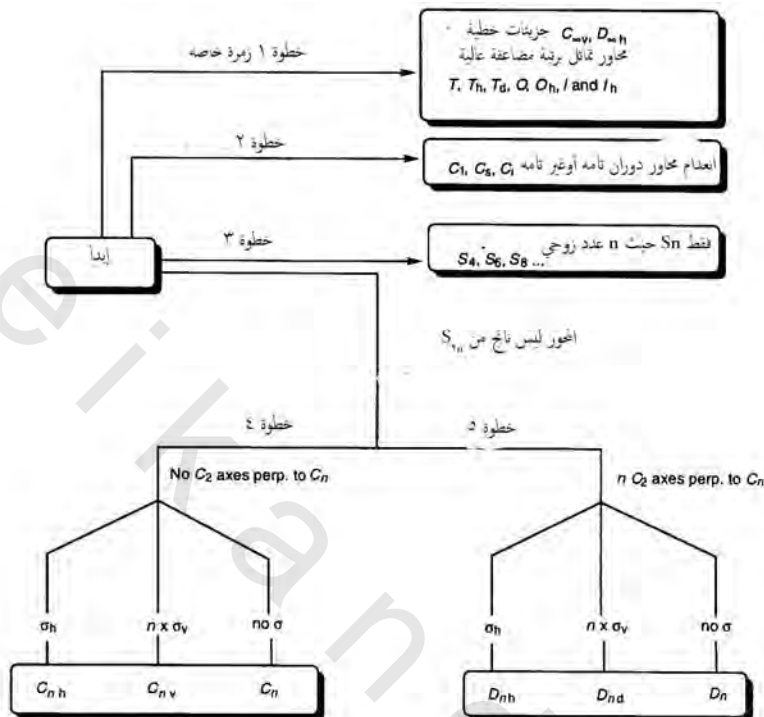
٣ - إذا وجد محور غير تام برتبة  $n$  (عملياً فقط  $S_4$  ،  $S_6$  ،  $S_8$  معهودة) ولكن لا توجد سطوح تمايل ولا أي محور تام ما عدا واحد متتسامت (أو أكثر) الذي وجوده التلقائي يلزم المحور غير التام، فإن الزمرة هي  $S_4$  ،  $S_6$  ،  $S_8$  .. يلزم المحور  $S_4$  محور  $C_2$ ، والمحور  $S_6$  يلزم محور  $C_3$ ، ويلزم المحور  $S_8$  كلاً من المحورين  $C_4$  و  $C_2$ . النقطة المهمة هنا هي أن زمر النقطة  $S_n$  (زوجي) تتكون حصرياً من العمليات المولدة بالمحور  $S_n$ . فإذا كان هناك أي عملية إضافية ممكنة، فإننا بذلك نتعامل مع زمرة من النوع  $D_{nd}$ ، أو  $D_{nd}$

أو  $D_{nh}$ . إن الجزيئات المتممية إلى الزمرة  $S_n$  نادرة نسبياً، ويجب التدقيق التام في الاستنتاج المتخد بشأن انتساب جزيء إلى مثل هذه الزمرة.

٤ - بمجرد التأكد من أن الجزيء لا ينتمي لأي من الزمر التي ذكرت حتى الآن، أبحث عن المحور التام الأعلى رتبة. من الممكن أن لا يوجد محور ذو رتبة عالية استثنائياً لكن بدلاً عن ذلك ثلاثة محاور  $C_2$ . في مثل هذه الحالة، فإننا نبحث لنرى ما إذا كان واحداً منهم فريداً بعض الشيء هندسياً، مثلاً، متسمٍّ مع محور جزيئي فريد. يحدث هذا مع الجزيء  $P_4S_4$  وهو واحد من الأمثلة التي تناولها بالحل لاحقاً. إذا بدت كل المحاور شبيهة ببعضها البعض، وبالتالي يمكن اختيار أي واحداً منها عشوائياً كمحور مرجعي لخاصية السطوح الرأسية أو الأفقية. أفترض أن  $C_n$  هو مرجعنا أو المحور الرئيس. فالسؤال الحاسم هو إذا كان هناك مجموعة من المحاور متعامدة على المحور  $C_n$ . إذا كان ذلك تقدم للخطوة الخامسة. وإذا لا، فإن الجزيء ينتمي إلى واحدة من الزمر  $C_n$  أو  $C_{nh}$ . إذا لم توجد عناصر تماثل عدا المحور  $C_n$ ، فإن الزمرة هي  $C_n$ . فإذا كان هناك  $n$  من السطوح المتعامدة، فالزمرة هي  $C_{nv}$  وإذا وجد سطح أفقي فالزمرة هي  $C_{nh}$ .

٥ - إذا، بالإضافة إلى المحور  $C_n$  الرئيس، كانت هناك محاور  $nC_2$  واقعة على سطح متعامد على المحور  $C_n$ ، فإن الجزيء ينتمي إلى واحد من الزمر  $D_{nd}$ ، أو  $D_{nh}$  أو  $D_{nhd}$ . فإذا لم توجد عناصر تماثل بجانب  $C_n$  والمحاور  $nC_2$ ، فإن الزمرة هي  $D_n$ . إذا استوجب وجود سطح أفقي للتماثل، فإن الزمرة هي  $D_{nh}$  وستحتوي أيضاً بالضرورة ما عدده  $n$  من السطوح الرأسية، وهذه السطوح تحتوي على المحور  $C_2$ . فإذا لم يوجد ولكن توجد مجموعة من السطوح الرأسية عددها  $n$  التي تمر بين المحاور  $C_2$ ، فإن الزمرة هي  $D_{nd}$ .

هذه الطريقة خمسية الخطوات ملخصة في الشكل رقم (١٦، ١٧).



الشكل رقم (١٦, ١٧). صفحه ترتيبية لتعيين زمرة النقطة للجزيء.

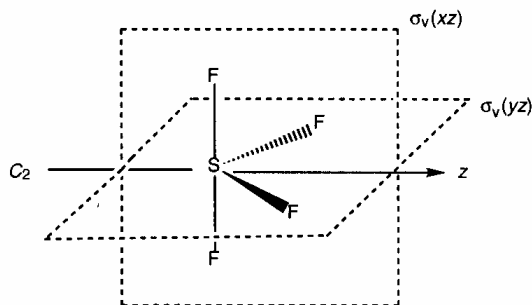
### أمثلة توضيحية لتعيين زمرة النقطة

المخطط الذي عرضنا خطوطه العريضة للتوصيات لبيان زمرة النقطة للجزئيات سيعرض الآن.

ستتعامل على طول الخط مع جزيئات لا تتسمى لأي مجموعات وسوف نهمل الجزيئات التي تتسمى إلى  $C_1$  ، و  $C_s$  ، وهكذا، كل عرض سيبدأ من عند الخطوة ٣، حيث البحث عن المحور  $S_n$  برتبة زوجية.

### مثال ١

أسس الجزيء  $SF_4$  كما هو موضح بوضع ذرات الفلورين المحوية على طول المحور  $x$  وذرات الفلورين الاستوائية في السطح  $.yz$ .

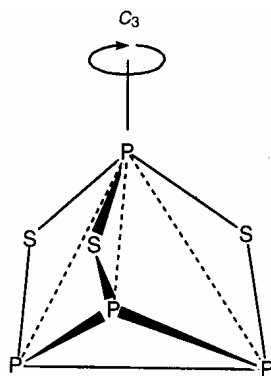


الخطوة ٣. لا يمتلك  $SF_4$  محوراً غير تام.

الخطوة ٤. المحور التام الأعلى رتبة هو المحور  $C_2$  المار خلال ذرة الكبريت ومنصفاً خطأ بين ذرات الفلورين الاستوائية. ليس هناك محاور  $C_2$  أخرى. إذاً، فيجب أن يتتمي  $SF_4$  إلى  $C_2$  أو  $C_{2v}$ . وبما أنه له سطحان رأسيان، واحد منهما هو السطح الجزيئي  $(yz)$ ، فإنه يتتمي إلى الزمرة  $C_{2v}$ .

## مثال ٢

الجزيء  $P_4S_3$  موضح أسفل بمحور  $C_3$  مار خلال ذرة الفوسفور الرأسية ومنصف مثلث ذرات الكبريت.

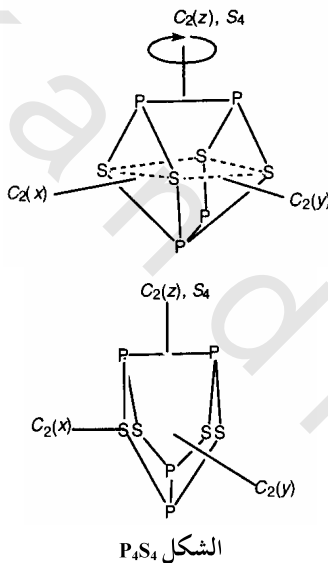


الخطوة ٣. لا يوجد محور غير تام.

الخطوة ٤. إن المحور التام الوحيد هو المحور  $C_3$  ، ليس هناك محاور  $C_2$  بالمرة ، وهكذا ، يجب أن تكون الزمرة هي  $C_3$  أو  $C_{3v}$ . هناك ثلاثة سطوح رأسية ، واحد يمر من خلال واحدة من المجموعات P-S-P. الزمرة ، إذن ، هي  $C_{3v}$ .

مثال ٣

صورتان للجزيء  $P_4S_4$  موضحتان أسفله.

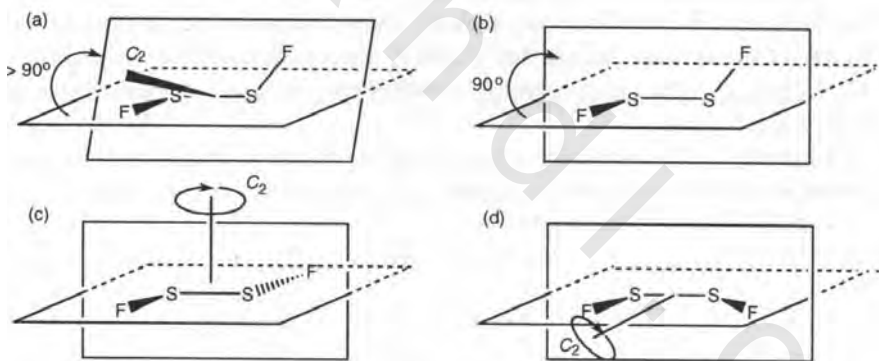


الخطوة ٣. يوجد محور  $S_4$  متطابق مع المحور  $z$ . مع ذلك ، هناك عناصر تماثل أخرى أيضاً بجانب المحور  $C_2$  ، وذلك تبعاً ضرورية لمحور  $S_4$ . ربما الأكثر وضوحاً هي سطوح التماثل المارة خلال أزواج ذرات p المتقاورة. وهكذا بالرغم من أن المحور  $S_4$  موجود ، فإن التماثل الإضافي يستبعد زمرة النقطة  $S_4$ .

الخطوة ٤. بالإضافة إلى المحور  $C_2$  الواقع على طول المحور  $Z$  هناك محوران  $C_2$  إضافيان متعامدان مع هذا كما هو موضح سابقاً وبالتالي، يجب أن تكون الزمرة من النوع  $D$ ، وننقدم إلى الخطوة ٥.

الخطوة ٥. بأخذ المحور  $C_2$  الواقع على طول المحور  $Z$  للجزيء كمحور مرجعي، نبحث عن  $S_2$ . لا يوجد واحد، وبالتالي فإن الزمرة  $D_{2d}$  تستبعد. هناك، على كلِّ سطحان رأسيان يقعان بين المحاور  $C_2$  ، وبالتالي فالزمرة هي  $D_{2d}$ .

المثال ٤. للجزيء  $S_2F_2$  مدى من الأيسوميرات الدورانية اعتماداً على الراوية ثنائية الأوجه بين السطحين  $F-S-S$ . الم هيئات المتعددة للجزيء  $S_2F_2$  ومحاورها  $C_2$  (إذا كان هناك أي منها) موضحة بالشكل رقم (١١.١٨).



الشكل رقم (١١.١٨). (a) الاتزان غير المسطح، (b) غير مسطح بزاوية  $90^\circ$  ثنائية الأوجه، (c) مسطح - سيس، (d) مسطح ترانس جزئي  $S_2F_2$ .

(أ) الم هيئه الاتزانية غير المسطحة ( $\theta \neq 90^\circ$ )، (a) في الشكل رقم (١١.١٨).

الخطوة ٣. لا يوجد محور غير تام.

الخطوة ٤. كما هو مبين في الشكل، هناك محور  $C_2$  ولا محور آخر تام. ليس هناك سطوح تماشٍ. زمرة النقطة هي إذا  $C_2$ . لاحظ أن التماش  $C_2$  غير مرتبط ، بأي طريقة مع الزاوية

٧ ما عدا عندما تكون  $\theta$  تساوي الصفر أو  $90^\circ$ ، في هذه الحالة فإن التماثل أعلى. سنمحص تالياً ترتيب الاتزان غير الخططي للجزيء. تبقى زمرة النقطة نفسها إذا كانت الزاوية ثنائية الأووجه تساوي  $90^\circ$ ، بالتحديد (ب) في الشكل رقم (١١.١٨)، ولكن تنشأ زمرة نقطة بديلة عندما تقع كل الذرات على سطح واحد.

(ii) الترتيب السيس المسطح، (ج) في الشكل رقم (١١.١٨).  
مرة أخرى. لا يوجد محور  $S_n$  برتبة زوجية.

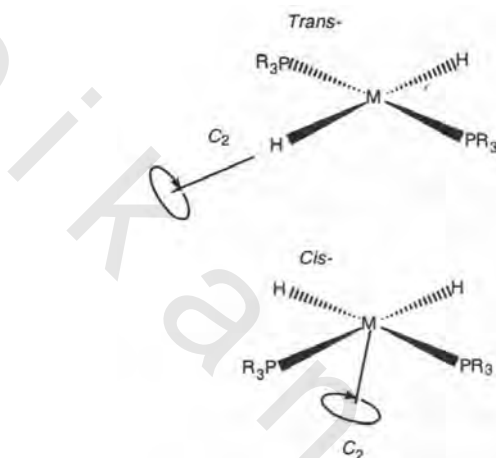
الخطوة ٤. المحور  $C_2$ ، بالطبع، يبقى. مازال هناك غياب لمحاور تامة. يقع الجزيء الآن على سطح وهو سطح تماثل وهناك سطح آخر ينصف السطح الجزيئي على طول المحور  $C_2$ . الزمرة هي  $C_{2v}$ .

(iii) الترتيب الترانس المسطح، (د) في الشكل رقم (١١.١٨).  
مرة أخرى لا يوجد محور  $S_n$  برتبة زوجية (ماعدا،  $i = S_2$ ).  
الخطوة ٤. مازال هناك المحور  $C_2$  موجوداً، وليس هناك محاور تامة أخرى. هناك الآن  $S_h$  وهو السطح الجزيئي. الزمرة هي  $C_{2h}$ .  
الذرات المتكافئة تماثلاً

تكون الذرات في الجزيء متكافئة تماثلاً إذا كان هناك تبادلاً كتيبة لعملية التماثل. ومن تجربة الطين النووي المغناطيسي فإن للذرات المتكافئة تماثلاً نفس الانزياح الكيميائي أي، هم مشابهون زمنياً.  
الأنيوية المتكافئة مغناطيسياً

تصبح نواتان في جزيء متكافئين مغناطيسياً إذا كانتا متكافئتين تماثلاً بمقتضى أو استناداً إلى عملية تماثل لا تبدل أو تغير تزامنياً أي من الأنيوية المندمجة معها مغزلياً. يوضح المثال بالشكل رقم (١١.١٩) للهيكتين ترانس وسيس للمعقد المربع المسطح،  $[R_3P]_2MH_2$ .

في الهيئة ترانس فإن أنوية  $^{31}\text{P}$  متكافئة مغناطيسياً لأن العملية التي تغيرهم لا تغير أنوية الهيدروجين التي تندمج معها. في الهيئة السيس فإن أنوية  $^{31}\text{P}$  ليست متكافئة مغناطيسياً لأن العملية التي تغيرهم تغير كذلك أنوية الهيدروجين.



الشكل رقم (١١,١٩). الهيئات ترانس وسيس للمعقد  $[(\text{R}_3\text{P})_2\text{MH}_2]$ .

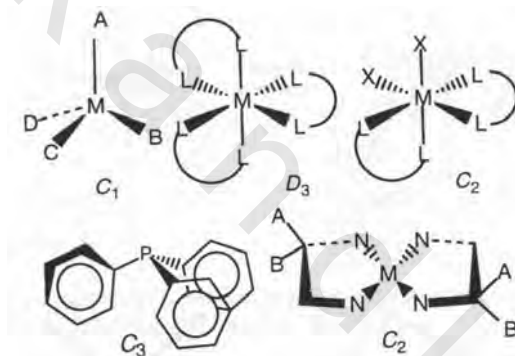
### التماثل والنشاط البصري

كثير من المواد يمكنها تدوير سطح الاستقطاب لشعاع ضوء مستقطب . يقال عن هذه المواد أنها نشطة بصرياً. بلغة جزيئية ، فإن الشرط الضروري والكافى بالنسبة لمادة لكى تظهر نشاطاً بصرياً هو أن تكون بنيتها الجزيئية غير متطابقة مع صورتها الناتجة من انعكاسها على مرآة.

فعندهما يتحقق هذا الشرط فإن الجزيء يوجد في هيئتين تظهران خواص بصيرية متساوية ولكن متعاكسة وتسمى الهيئتين ..... (enantiomers).

إذا كان أو لم يكن الجزيء متطابقاً على صورته في المرآة هو مسألة تماثل. فالجزيء الذي يحتوى على محور دوران تماثلي غير تام  $S_n$  ورتبته  $n$  يكون دائماً متطابقاً

على صورته في المرأة. وهذا حقيقي لأن العملية  $S_n$  تحتوي على جزيئين دوران  $C_n$  وانعكاس ٥. وطالما أن الانعكاس ينشي صورة المرأة فإن العملية  $S_n$  تكافئ دوران في الفضاء للصورة في المرأةتعريفًا، وإن جزيئاً محتواً المحور  $S_n$  يُؤَدِّي إلى التطابق مع نفسه بالعملية  $S_n$  وبالتالي فإن صورته في المرأة بعد الدوران متطابقة. وبما أن  $5 = S_1 = S_2$  فإن جزيئاً له سطح أو مركز تمايل هو كذلك غير نشط بصرياً. على كل، فإن القاعدة الأكثر تعليمياً واقتصادية هي أن الجزيء المحتوى على المحور  $S_n$  ليس نشطاً بصرياً. بعض الأمثلة لجزئيات غير عضوية نشطة بصرياً موضحة بالشكل رقم (١١,٢٠).



الشكل رقم (١١,٢٠). أمثلة لجزئيات نشطة بصرياً.

### ذرات متكافئة كيميائياً

تكون ذرتان في جزيء متكاففتين كيميائياً إذا كان بإمكان واحدة أن تستبدل بالآخرى عند أداء عملية تمايل تامة. إن ذرتين متكاففتين بمقتضى عملية تمايل غير تامة تكونان متكاففتين كيميائياً فقط بالنسبة إلى مواد غير نشطة بصرياً (achiral). التماكيبية (الأيسوميرية) الفراغية الثنائية

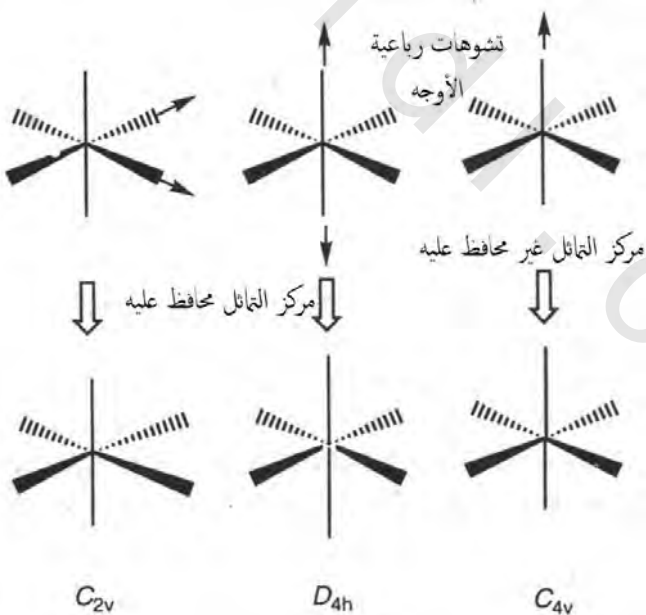
إن ليجانداً (أو بطريقة عامة شظبية جزيئية) له مجموعتان مرتبستان بسطح تمايل سيفقدان هذا التكافؤ إذا ارتبطا بعقد فلزي ليس له سطح تمايل. هاتان المجموعتان

ايسميرات مميزة متباعدة. مثلاً، مجموعتا الميثيل في  $\text{PMe}_2\text{Ph}$  يمكن تمييزهما عندما يرتبط الجزيء مع معقد ليس به سطح تماثل.

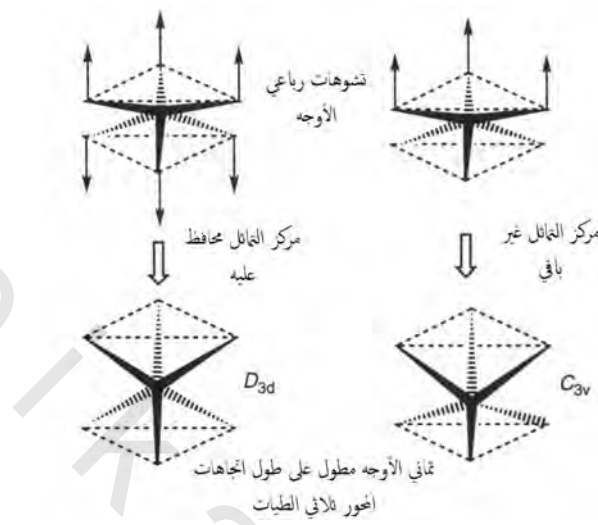
### انخفاض التماثل

إن البنيات الهندسية المثالية التي وصفت سابقاً لا تلاحظ دائماً في الجزيئات الواقعية وبالتالي من المفيد النظر في أثر التشوّهات على زمر النقطة للجزيئات التي نلتقيها عامة.

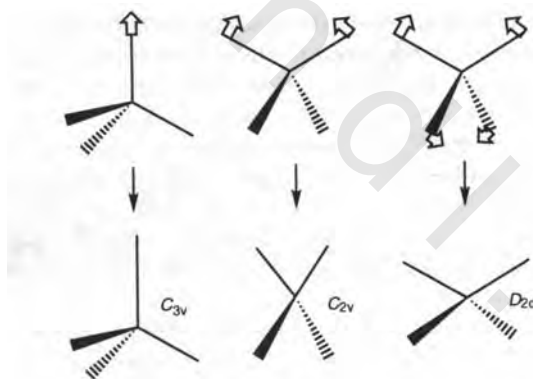
مثلاً، يمكن لثمانية أوجه منتظم أن يشوه إما على طول محور تماثل رباعي الطيات أو محور ثلاثي الطيات. زيادة على ذلك فقد تنفذ التشوّهات بطريقة ما بحيث يبقى أو يفقد مركز التماثل. زمر النقطة الناتجة مبينة في الشكلين رقمي (١١.٢١)، (١١.٢٢) و (١١.٢٣).



الشكل رقم (١١.٢١). انخفاض التماثل لثماني الأوجه (التشوهات على طول المحور رباعي الطيات).



الشكل رقم (١١,٢٢). تشوهات على طول محور ثلاثي الطيات.



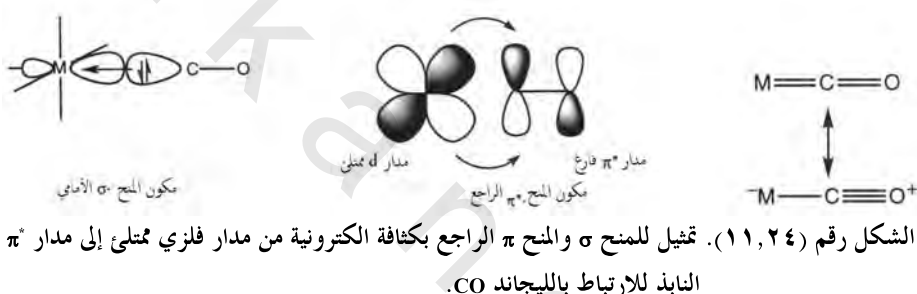
الشكل رقم (١١,٢٣). تشوهات مقتربة برباعي الأوجه.

### الارتباط التعاوني

### Synergic bonding

إن ليجاندات مثل CO و N<sub>2</sub> تكون فقط معقدات ضعيفة جداً مع حمض لويس التقليدية مثل BF<sub>3</sub> لأن مداراتها المانحة للزوج الالكتروني طاقات تأين عالية وليس لها فعالة في منح كثافة الكترونية. وهما، مع ذلك، يكونون معقدات مستقرة مع عناصر

انتقالية ذات أعداد أكسدة منخفضة. ويتحقق هذا لأن المنح من  $\sigma$  يعرض بمنح راجع من مدارات  $d$  الفلزية الممتلئة إلى مدارات  $\pi^*$  النابذة للارتباط الواقعة أسفل نسبياً. إن المنح  $\sigma$  للكثافة الالكترونية من الليجاند CO إلى الفلز، والمنح الراجع من مدارات  $d$  الممتلئة في الفلز إلى مدارات  $\pi^*$  الفارغة بالليجاند ولكليهما تماثل من نوع  $\pi$  بالنسبة للرابطة M-C موضحان بالشكل رقم (١١.٢٤)، كما أن تمثيل رابطة التكافؤ لإعادة توزيع الروابط المضاعفة موضح بجانبه.



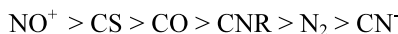
الشكل رقم (١١.٢٤). تمثيل للمنح  $\sigma$  والمنح  $\pi^*$  الراجع بكثافة الكترونية من مدار فلزي ممتليء إلى مدار  $\pi^*$  النابذ للارتباط بالليجاند CO.

تؤكد مكونات  $\sigma$  و  $\pi^*$  المتكمالتين على أن الفلز يبقى متعادلاً كهربائياً تقريباً. يوصف نموذج الارتباط بأنه تعافي لأن المكونات كل على حده يعزز بعضها البعض ومثال المنح  $\sigma$  إلى الفلز يزيد من الشحنة السالبة على الفلز ويشجع منحاً راجعاً إضافياً. طالما أن المنح الراجع من مدارات  $d$  الفلزية الممتلئة إلى مدارات  $\pi^*$  الفارغة في CO فإن درجة المنح الراجع تزيد من الارتباط المضاعف بين الفلز والكربون على حساب الرابطة المضاعفة O-C. يمكن التأكد من هذه الآثار عملياً عن طريق دراسة طول الرابطة أو ثوابت القوة أو ترددات الشد في معقدات الكربونيل متساوية الالكترونات. وترددات الشد C(M-C)v و (C-O)v في سلسلة المركبات الكربونيلية المعطاة بالجدول رقم (١١.٦) مثال تعكس الطريقة التي تقوى بها الرابطة M-C والطريقة التي تضعف بها الرابطة C-O عندما تزداد الشحنة السالبة على المعقد.

بازدياد الشحنة السالبة يوظف الأثر الغالب مكون الملح الراجع الذي يزيد ويقوى الرابطة M-C على حساب الرابطة CO.

تحتوي الليجاندات الأخرى القادرة على تكوين روابط مضاعفة من هذا النوع على NO، CS، CNR، CR<sub>2</sub> (كاربينات) و CR (كاربانيات) ومقدرتهم النسبية ليعملوا

مستقبلات  $\pi$  هي :

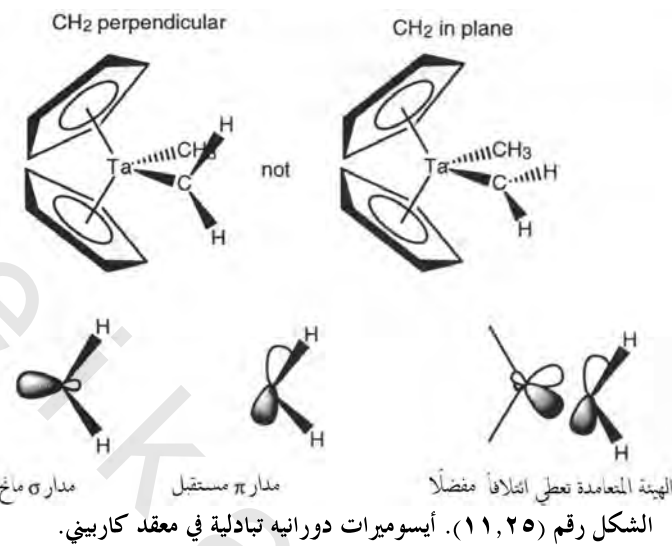


يعتمد مقدرتهم على المنح  $\sigma$  على الشحنة للليجاند وتتوفر الالكترونات في مدار  $\sigma$  المانح. مثلاً، CN<sup>-</sup> مانح  $\sigma$  جيد ومستقبل  $\pi$  ضعيف ويوجد عامة في معقدات بها حالات أكسدة وسيطة في حين ان الليجاندات الأخرى مفيدة بالأخص لثبت الفلزات الانتقالية عند أعداد أكسدة منخفضة.

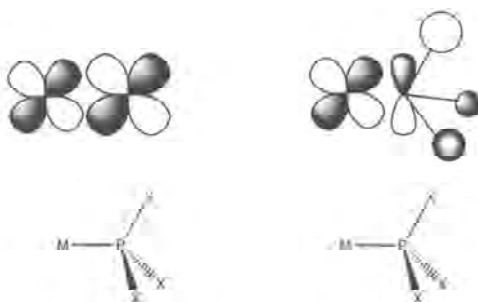
إذا كان للليجاند مستقبل -  $\pi$  مكون مستقبل واحد فقط ، فإنه بالتالي يصطف في المعقد بشكل يجعل أثر الراجع في أعلى قيمة. تمثل الكاربينات هذه الليجاندات، والأسباب الالكترونية لتبني ترتيباً بعينه بالنسبة للمركب  $\eta\text{-C}_5\text{H}_5)_2\text{CH}_3\text{CH}_2\text{Ta}(\text{C}_5\text{H}_5)$  مبينة في الشكل رقم (١١.٢٥).

الجدول رقم (١١.٦). ترددات الشد ( / cm<sup>-1</sup>) للروابط M-C و C-O لبعض الكاربونيلات الفلزية.

	v (M-C)	v(C-O)
CO		2143
[Mn(CO) <sub>6</sub> ] <sup>+</sup>	416	2101
[Cr(CO) <sub>6</sub> ]	441	1981
[Mn(CO) <sub>6</sub> ] <sup>-</sup>	460	1859
[Ti(CO) <sub>6</sub> ] <sup>2-</sup>		1750
[Ni(CO) <sub>4</sub> ]		2060
[Co(CO) <sub>4</sub> ] <sup>-</sup>		1890
[Fe(CO) <sub>4</sub> ] <sup>2-</sup>		1790



في الحالات حيث يكون  $\text{CO}$  غير قادر على الدخول في تداخلات الرابط  $\pi$  لأن ليس له مدارات  $d$  ممتلئة ، فإن تردد الشد لـ  $\text{CO}$  يكون أعلى من ذلك في  $\text{CO}$  الحر ، مثلاً (  $\eta^1\text{C}_5\text{H}_5\text{Ca}(\text{CO})$  )  $(2158 \text{ cm}^{-1})$   $\text{HCO}^+$   $(2184)$  ،  $\text{Me}_3\text{AlCO}$   $(2185 \text{ cm}^{-1})$  Angew. Chem. Int. Ed. Brintzinger et al. 1995, 34, 791. ) كذلك فإن الفوسفينات قادرة لتعمل كليجاندات مستقبلة  $\pi$  بالرغم من أن هناك بعض الجدل فيما يخص الآلية الحقيقية. لقد أقترح أساساً أن الفوسفينات قادرة على العمل مستقبلات  $\pi$  من خلال مداراتها  $3d$  الفارغة كما هو موضح في الجهة اليسرى بالشكل رقم (١١,٢٦). ولكن ، هذه المدارات تقع عند طاقات عالية جداً والتفسير الأكثر قبولاً حالياً هو أنهن يعملون مستقبلات  $\pi$  من خلال مدارات  $X-P$  الجزئية النابذة للارتباط. كما هو موضح أسفل الشكل رقم (١١,٢٦).



الشكل رقم (١١,٢٦). قد يتضمن المانح الرابع من مدارات  $\delta$  الفلزية الممتلئة إما مدارات  $3d$  على الفوسفور (يسار) وإما مدارات  $(P-X)^5$  النابذة للارتباط (يمين).

وإن تماثلات المدارات المضمنة مشابهة وبالتالي هناك تجرب بسيطة قليلة يمكنها التمييز بين المساهمات النسبية للتداخلات البديلة .

مهما تكون الآلية الحقيقة والأكيدة فإن الترتيبات النسبية التالية لمقدرات المنح والاستقبال يمكن أن تقترح :

المقدرة على المنح  $\pi$ -



المقدرة على الاستقبال  $\pi$  :



أخذين الآثرين في كلتيهما  $\text{PF}_3$  يؤول إلى ليجاند بخواص شبيهة جداً بتلك  $\text{CO}$  ويمكن اعتبارها ليجاند مستقبل  $-\pi$  جيد جداً الذي يمكنه ثبيت أعداد الأكسدة المنخفضة في حين أن  $\text{PMe}_3$  مستقبل  $-\pi$  ضعيف جداً ويجب أن ينظر إليه أساساً ليجاند مانح  $\pi$  جيد. وهكذا فإن  $\text{PMe}_3$  يوجد في معقدات حيث يتراوح عدد أكسدة الفلز من الصفر إلى ستة.